法政大学学術機関リポジトリ

HOSEI UNIVERSITY REPOSITORY

PDF issue: 2025-07-31

タブレットPCを用いた頭部姿勢変動にロバストな視線方向識別手法の検討

MORITO, Yuki / 森藤, 夕騎

(出版者 / Publisher)

法政大学大学院理工学・工学研究科

(雑誌名 / Journal or Publication Title)
法政大学大学院紀要. 理工学・工学研究科編 / 法政大学大学院紀要. 理工学・工学研究科編

(巻 / Volume)
55

(開始ページ / Start Page)
1

(終了ページ / End Page)

(発行年 / Year)

2014-03-24

(URL)

https://doi.org/10.15002/00010345

タブレット PC を用いた頭部姿勢変動に ロバストな視線方向識別手法の検討

Real-time eye-direction classification scheme robust against head pose variation by using Tablet PC

> 森藤夕騎 Yuki Morito 指導教員 赤松茂

法政大学大学院工学研究科システム工学専攻修士課程

We built a visual interface system in which automatic eye-direction classification robust against head pose variation was achieved by acquiring the 3D posture information of the face by means of a state-of-the-art head tracking software, faceAPI. We made a comparison between several feature extraction schemes for representing the local image pattern around the eyes in terms of validity in discriminating eye directions.

Key Words: visual interface system, eye-direction discrimination, human computer interaction

1. はじめに

視覚インタフェースについて研究を行う場合, 用いる 視線情報は自然な状態に置かれた被験者から得られた情 報であることが望ましい. そのため被験者に測定装置の 装着を要求しない非接触型視線推定手法が適している[1]. 現在, iPad などに代表されるタブレット PC が普及してい る. しかし片手でタブレットを持ち, もう一方の手で操 作をするため、どうしても両手が塞がってしまうといっ た問題もあげられる[2].

本論文では、Seeing Machines 社のリアルタイムフェ イストラッキングツール faceAPI[3]により頭部姿勢情報 を取得し、タブレットPCに搭載されているWebカメラを 用いた目領域の形状を表す数種類の特徴表現について視 線方向識別の有効性を比較・検証を行った.

2. 前処理

顔の大きさ,位置、傾きによらない動き情報を取得す るために, 顔画像の正規化をした後に, 目領域の切り出 しを行なった. faceAPI より両目座標の取得を行い、そ の座標を基に回転処理を行う. 図 1 に正規化画像の取得 例を示す.



図 1.顔の正規化

3. 提案手法

目領域の局所パターンを表す特徴ベクトルについては 以下の数種類の提案手法を記す.

3.1 水平方向ヒストグラムの利用

水平方向ヒストグラム $h1_x$ は、二値化画像Iの各点I(x,y)を白=0, 黒=1 としたとき,式(1)のように表される. $h1_x = \sum_{r=1}^{\infty} I(x,n)$

$$h1_{x} = \sum_{n=1}^{\infty} I(x,n) \qquad \qquad \cdots$$

その二値化画像をヒストグラム化したそれぞれの平均 を学習サンプルとする.

3.2 水平方向ヒストグラムの利用

水平方向ヒストグラム $h2_x$ は、二値化画像Iの各点I(x,y)

を白=0, 黒=1 としたとき,式(2)のように表される.
$$h2_y = \sum_{n=1}^{n} l(n,y) \qquad \qquad \cdot \cdot \cdot \cdot (2)$$

その二値化画像をヒストグラム化したそれぞれの平均 を学習サンプルとする.

3.3 2次元ヒストグラムの利用

2次元ヒストグラム $h3_{x,y}$ は、二値化画像Iの各点I(x,y)を白=0, 黒=1 とし、分割するブロックの横幅をblockX, 縦幅をblockYとすると、式(3)のように表される.

$$h3_{x,y} = \sum_{n=1}^{blockX} \sum_{m=1}^{blockY} I(blockX \times x + n, blockY \times y + m) \qquad . . . (3)$$

2次元ヒストグラムを用いて,ブロック単位で比較する. 目領域をグレースケール化した画像からブロック画像を 作成し, それをヒストグラム化したそれぞれの平均を学 習サンプルとする.

4. 識別辞書

被験者に頭部を自由に動かしながら、一つの注視点を 向いてもらい、被験者数分の画像セットを取得した.上 手く特徴点を取得できていなかった画像を削除し、それ ぞれの範囲の識別辞書を作成した.

25°から $\cdot 25$ °まで 10°刻みの計 5 方向の範囲を10 \cdot 5 とし、範囲毎に学習データを用意した。図 1 に頭部姿勢分類範囲を示す。

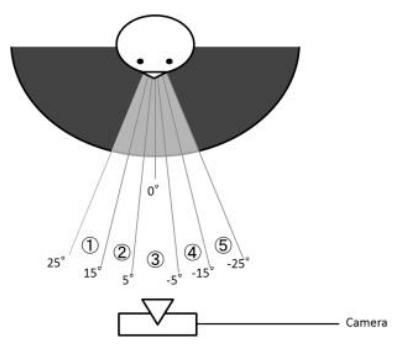


図 2.頭部姿勢分類範囲 (Y 軸回転)

5. 予備実験

コルクボード上に設けた注視点において, 視線方向を 特定し認識率を求め, 手法の有効性を比較した.

実験環境として、Web カメラはコルクボードの中央に 設置し、椅子を固定しカメラと眼が水平になるように設 定した. 4人の被験者に対して実験を行った.

図 3 に予備実験風景,図 4 にコルクボード上の注視点を示す。表 1 に手法 3.1 を用いた水平方向注視点,表 2 に手法 3.3 を用いた水平方向注視点,表 3 に手法 3.1 を用いた垂直方向注視点,表 4 に手法 3.3 を用いた垂直方向注視点,表 5 に手法 3.4 を用いた垂直方向注視点,それぞれにおける平均認識率を示す。



図 3.予備実験風景

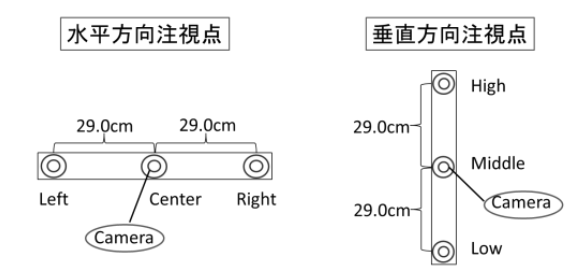


図 4.コルクボード上の注視点

表 1. 手法 3.1 を用いた 水平方向注視点における平均認識率(単位:%)

		識別辞書によって識別された方向		
		Left Center Rig		
実	Left	74.4	23.0	2.7
実際の方向	Center	6.9	91.4	1.7
一省	Right	4.2	31.6	64.2
	総合	76.7		

表 2. 法 3.3 を用いた

水平方向注視点における平均認識率(単位:%)

		識別辞	識別辞書によって識別された方向		
		Left	Center	Right	
実	Left	56.4	40.8	2.9	
実際の方向	Center	5.3	89.9	4.8	
一角	Right	3.2	23.1	73.7	
	総合	73.1			

表 3.手法 3.1 を用いた

垂直方向注視点における平均認識率(単位:%)

		識別辞書によって識別された方向			
		High Middle Lo			
実際の方向	High	99.3	0.5	0.2	
	Middle	82.3	13.0	4.7	
向	Low	72.1	25.0	12.9	
	総合	41.7			

表 4. 手法 3.3 を用いた

垂直方向注視点における平均認識率(単位:%)

		識別辞書によって識別された方向		
		High	Middle	Low
実	High	82.0	14.0	4.0
実際の方向	Middle	71.1	24.3	4.6
尚	Low	52.9	29.7	17.4
	総合	41.2		

6. 予備実験まとめ

表 1,表 2 より 2 次元ヒストグラムを利用した場合の方が、水平ヒストグラムを利用した場合よりも総合平均認識率が 3.6%下がってしまった. これは、注視点が水平方向のみにあるため、垂直方向成分の眼球運動がノイズとして影響したと考えられる.表 3,表 4 はどちらの手法も誤認率が非常に高かった.垂直方向において、ストグラムのみを利用した視線方向推定手法は不向きであると考えられる.

7. 本実験準備

7.1 識別辞書の追加

予備実験では、Y軸回転の頭部姿勢のみを考慮したが、本実験では X 軸回転の頭部姿勢も考慮した。今回は被験者の頭を動かしてもらうのではなく、タブレット PC を上下に動かしてもらい、学習サンプルを取得した。被験者はカメラの正面で頭部を自由に動かしながら一つの注視点を向いてもらうことにより、Y 軸回転に-25° から 25° まで 10° 刻みの 5 範囲、またブレット PC を上下に動かしてもらい X 軸回転に 0° から 30° まで 10° 刻みの 3 範囲の,計 15 範囲の顔画像を 300 枚ずつ取得し、その平均画像を識別辞書とする。図 4 に追加した頭部姿勢分類範囲を示す。



図 4. 追加した頭部姿勢分類範囲(X 軸回転)

7.2 提案手法

予備実験の水平方向にある注視点で、手法 3.1 の水平方向ヒストグラムの手法と手法 3.3 の二次元ヒストグラムの手法を用いて、視線方向識別実験を行った. その結果、認識率の良かった手法 3.1 の水平方向ヒストグラムの手法を本実験でも使用した.

予備実験の垂直方向にある注視点で、手法 3.2 の垂直 方向ヒストグラムを用いた手法、手法 3.3 の 2 次元ヒス トグラムを用いた手法を用いて視線方向識別実験を行っ たが、どちらの手法も期待されるような結果が得られな かった。そのため、新たな手法としサポートベクターマ シン (以下 SVM)を用いた手法を利用した。

SVM は、教師あり学習を用いる識別手法の一つである. パターン認識や回帰分析へ適用できる. 線形入力素子を利用して 2 クラスのパターン識別器を構成する手法である.

二値化した目領域画像は 50400 次元で表現される特徴量であり、多次元の特徴量は計算処理の負担が重くなるだけでなく、重要な役割を果たしている成分とそうではない成分が含まれるという特徴がある。そこで、主成分分析を行い、多次元の特徴ベクトルを 7 次元に次元圧縮を行い、SVM を用いて識別を行った。

学習サンプルから、各データ点との距離が最大となるマージン最大化超平面を求めるという基準で線形入力素子のパラメータを学習する.

あらかじめ、得られた特徴ベクトルを元に主成分分析を行い、SVM の教師データとなる主成分パラメータを取得し、SVM に学習させる。次に、主成分分析によって得られた固有値、固有ベクトルを元に正規直交基底を算出し、未知データを固有空間上に投影し、先に学習させたSVM にかけることによってリアルタイムに High、Middle、Lowの識別を行った. 図 5 に SVM の処理フロー、図 6 に主成分空間上における入力データの識別を示す。

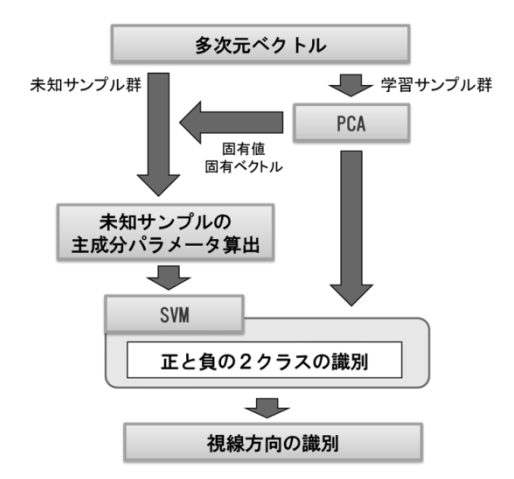


図 5.SVM の処理フロー

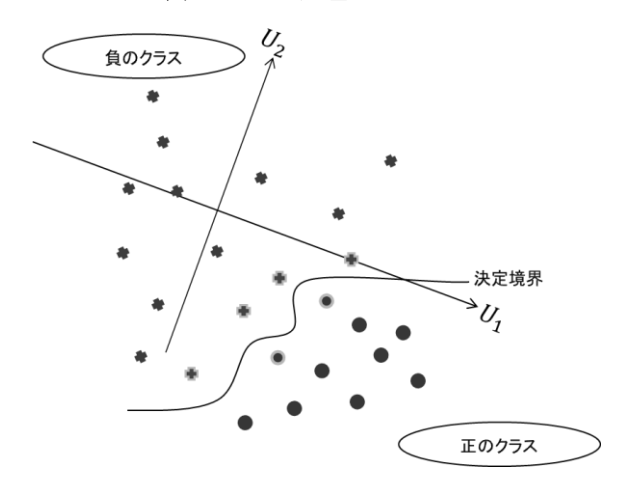


図 6.主成分空間上における入力データの識別

8. 本実験

予備実験の応用としてタブレット PC 上に設けた注視 点において, 視線方向を特定し認識率を求め, 手法の有 効性を比較した.

カメラはタブレット PC 内蔵カメラを用いた. 4 人の被験者に対して実験を行った.

図7に本実験風景,図8にタブレットPC上の注視点を示す.表5に手法3.1を用いた水平方向注視点での認識率,表6から表8に手法3.1を用いた水平方向注視点での被験者3人の各々の自然な(自分の見やすい)姿勢での認識率,表9にSVMを用いた手法の垂直方向注視点での認識率を示す.



図 7.本実験風景

水平方向注視点

垂直方向注視点

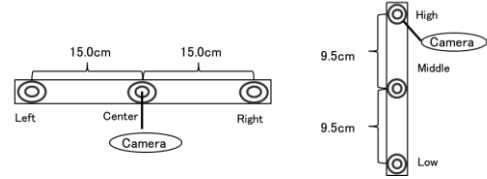


図 8.タブレット PC 上の注視点

9. 考察とまとめ

表 5 の水平方向の視線方向識別では、75%以上と比較的良好な認識率が得られた.表 1 の予備実験と比較すると、総合平均認識率が若干ではあるが 0.6%向上した.これは本実験で Y 軸回転の頭部姿勢だけでなく、X 軸回転の頭部姿勢も考慮したためであると考えられる.また表 6 から表 8 より、被験者の自然な(自分の見やすい)姿勢での認識率は、いずれも 80%以上と良好な結果が得られ、頭部を自由に動かしてもらうよりも、被験者の自然な姿勢の方が認識率は良好という結果が得られた.これは、識別辞書を作成する際に、被験者の無理な頭部姿勢を含んでしまったためであると考えられる.

表 9 の垂直方向の視線方向識別では、予備実験を含めて本実験でも、良好な結果は得られなかった。眼の横幅はあまり個人差がみられなかったが、縦幅においては個人差が大きく、識別辞書に目の大きさに依存する成分が入ってしまったためと考えられる。

本研究では、タブレット PC を用いた頭部姿勢変動にロバストな視線方向識別手法の検討した. 水平方向の視線方向識別は比較的正確に認識できた. 垂直方向の視線方向識別は、別の手法の検討が必要である.

謝辞

本研究の一部は,科学研究補助金(基盤研究 (B)24300087)の助成を得た.

参考文献

[1]福田崇,松崎勝彦,山名早人,"安価な web カメラを用いた Model-Based 視線推定",信学技情,PRMU2009-252,HIP2 009-137(2010-03),pp113-118, Mar.2010

[2]竹内尚也, 高橋裕樹, "携帯デバイス操作のための視線 検出手法", 信学技情, PRMU2011-246, HIP2011-74(2012-3), pp37-40, Mar. 2012 [3]Seeingmachines, "face API", http://www.seeingmachines.com/product/faceapi/

表 5. 手法 3.1 を用いた 水平方向注視点における平均認識率(単位:%)

		識別辞書によって識別された方向			
		Left Center Ri			
実	Left	71.2	22.8	6.0	
実際の方向	Center	7.8	87.1	5.1	
高	Right	11.4	16.0	72.6	
	総合	77.2			

表 6. 被験者 A の 自然な姿勢での認識率 (単位:%)

		識別辞書によって識別された方向			
		Left Center Right			
実	Left	91.8	8.2	0.0	
実際の方向	Center	0.1	99.8	0.1	
高	Right	1.5	22.1	75.4	
	総合	89.0			

表 7. 被験者 B の 自然な姿勢での認識率 (単位:%)

		識別辞書によって識別された方向		
		Left	Right	
実	Left	80.5	19.5	0.0
実際の方向	Center	1.5	96.0	2.5
尚	Right	0.3	34.7	65.0
	総合	80.5		

表 8. 被験者 C の 自然な姿勢での認識率 (単位:%)

		識別辞書によって識別された方向		
		Left Center Right		
実	Left	80.0	19.4	0.61
実際の方向	Center	4.3	91.3	4.4
一角	Right	9.1	14.3	85.7
	総合	85.7		

表 9. SVM を用いた手法の 垂直方向注視点における平均認識率(単位:%)

	TEN 1 1 TEN 1 1 1 1 1 1 1 1 1 1 1 1 1 1 1 1 1 1 1				
		識別辞書によって識別された方向			
		High	Middle	Low	
実	High	30.3	54.3	15.4	
実際の方向	Middle	36.4	50.4	13.2	
尚	Low	30.8	35.9	33.3	
	総合	38.0			